此方法可免去测量螺栓受力长度和螺栓总长及 三阶弹性常数等参量,应力同纵横波声时及温 度的关系简捷,由于考虑了温度补尝,测量精度 较高 (如果忽略温度影响,每度将造成 7.5MPa 的误差 ^[9]),可用于检测飞机、大桥、发电厂 等关键性设备的已紧固螺栓应力,深信将得到 广泛的应用。

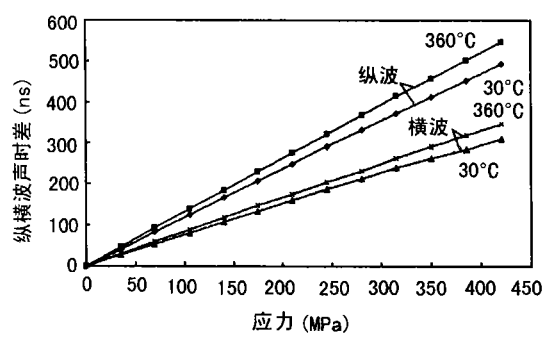


图 4 30°C 和 360°C 纵横波声时差随应力 的变化关系

参 考 文 献

- Johnsan G C. Journal of Testing and Evaluation, sep 1986, 14.
- 2 Deputat J. Ultrasonic technique for Measuring stress in screw. Ninth conference on non-destructive testing.
- 3 冉启芳, 费星如. 固体力学学报, Feb, 1982, 64-69.
- 4 何存富, 吴克成. 实验力学, 1992, 7(3): 238-241.
- 5 江泽涛, 朱士明, 梁军汀等, 应用声学, 1996, 15(4): 1-5.
- 6 Chandrasekaran N, Salamu K. Relationship between stress and temperature dependence of ultrasonic shear velocity. Nondestructive Methods for Material Property Determination, 393–403.
- 7 刘镇清,王路.仪器仪表学报,1996,17(6):662-665.
- 8 钱祖文. 非线性声学. 北京: 科学出版社, 1992, 234-360.
- 9 江泽涛. 同济大学硕士论文. 超声测应力研究与螺栓应力 仪研制, 1997年3月.

全国功率超声会议在无锡召开

1999 年全国功率超声会议于 1999 年 10 月 19 日至 21 日在江苏省无锡市召开。本次会议是近几年会议中规模较大的一次,全国近 40 个单位、团体的约 60 名代表出席了会议。会议开得较活泼。除论文报告交流外,会议组织了专题讨论会。会议期间,功率超声分会召开了全体委员会会议,有 80% 以上的委员出席了会议。中国声学学会名誉理事长、中国科学院资深院士应崇福先生专程出席了本次会议。

功率超声是超声学的一大分支,功率超声技术是一项应用广泛的高新技术。当前,功率超声的应用领域已经扩展和渗透到机械、材料、石油、化工、纺织、医药、食品等几乎所有工业部门以及农业、环保、医疗卫生、科学研究、日常生活、空间技术等领域,能够完成其它技术难以实现或效率很低的工作。新兴的超声治疗技术和"声化学"及其技术是令人瞩目的两个新应用领域,将成为下世纪重要的新兴技术。"声空化"的现象及其相关效应的理论价值和巨大应用潜力,使对"声空化"基础性研究成为目前国际上的热点课题。出席会议代表的踊跃和会议进行的热烈正是

这种形势的反映。

会议收到论文 32 篇,论文内容涉及功率超声的 应用研究、作用机理研究、和相关设备与元器件研究 等许多方面。会议报告包括对国内外功率超声的成就 和当前的发展的评述;对已经成为国内外研究热点的 超声空化研究的评述;对新兴的超声应用技术,例如 超声治疗肿瘤技术、超声电机技术的评述; 对已经产 业化的超声清洗等行业的发展、市场分析以及向这些 技术的深度和广度开拓、开拓新应用领域的评述等等 许多重要热点问题。会议报告内容广而且新。会议报 告中还介绍了受到大家普遍关注的许多新技术,例如 新兴的铝塑复合管的超声金属焊接技术、超声清洗中 的新技术和新用途、超声马达、超声悬浮等技术。本 次会议有许多较为深入的超声作用机理研究报告、例 如在超声加工流变性、超声减摩、超声空化、声致发 光、声化学等方面。在声场参量测量的新仪器、新器 件、换能器、变幅杆、激励电路的设计和研究等方面 也有很好的报告和交流。

(下转第 45 页)

应用声学

· 21 ·

含水沙来代替沉积物,测定了其上的声反射损失。该实验中所取含水沙的基本参量为:

$$ho_0 = 1.00 \, \mathrm{g/cm}^3$$
 $ho_1 = 2.67 \, \mathrm{g/cm}^3$
 $q = 0.359$
 $ho = 5.60 \times 10^{10} \, \mathrm{dyn/cm}^2$
 $ho = 4.00 \times 10^{-3} \, \mathrm{cm}$
 $ho = 10^{-2} \, \mathrm{g/cm \cdot s}$
 $ho = \pi \times 10^6 \, \mathrm{s}^{-1}$
 $ho = 20.94 \, \mathrm{cm}^{-1}$

利用上述数据对式 (9) 进行数值计算, 算得的声压反射损失 20log|V| 示于图 1 中, 图 1 的纵坐标为声压反射损失, 横坐标为掠射角。由图 1 可以看出, 理论与实践在定性上符合, 在定量上理论值略微偏高, 这可能是由于海底散射引起的。

以上所讨论的是松散的沙质沉积物。若将 表达式 (5) 和 (6) 换为 (10) 与 (11) 式 ^[3]

$$R = \frac{9}{2}(1-q)\frac{\psi\eta}{qa^2} + \frac{9(1-q)}{4}\psi\frac{\sqrt{2\rho_0\eta\omega}}{qa}$$

$$(10)$$

$$m = 1 + \frac{1}{2}(1-q)\psi + \frac{9}{2\sqrt{2}}(1-q)\frac{\psi\sqrt{\eta}}{r\sqrt{\rho_0\omega}}$$

$$(11)$$

则上述结果可适用于泥质沉积物, 其中

$$\psi = \left[1 - \frac{3}{4} \left(\frac{6V_c}{\pi}\right)^{1/3} - \frac{1}{4} \left(\frac{6V_c}{\pi}\right)\right]^{-1}$$

$$V_c = 1 - q$$

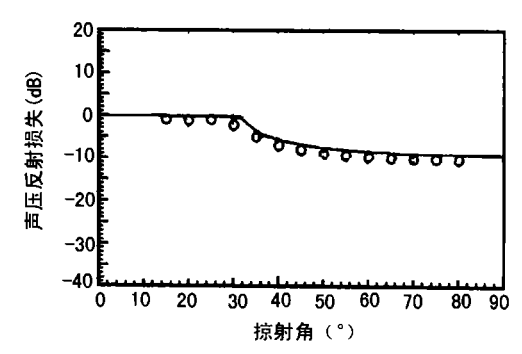


图 1 与声压反射损失掠射角的关系 (圆点为实验值,实线为计算值)

参考 文献

- 1 Ament W S. J.Acoust.Soc.Am., 1953, 25(4): 638–641.
- 2 唐应吾. 地球物理学报, 1975, 18(4): 269-278.
- 3 唐应吾. 声学学报, 1994, 19(3): 202-207.
- 4 唐应吾. 声学学报, 1981, 6(3): 181-188.
- 5 Novell A W, et al. J.Acoustic.Soc.Am., 1963, 35(9): 1394-1408.
- 6 布列霍夫斯基赫. 分层介质中的波, 科学出版社, 1960.

(上接第 21 页)

功率超声分会全体委员会会议讨论了下阶段的工作 计划和分会的有关各项工作。会议一致通过了增补部 分年轻委员的决议和增补委员的名单。委员会注意到 参加本次会议的企业代表偏少,委员会注意到加强科 研、企业单位之间的沟通与合作、加强市场经济观念 的重要性,委员会注意到重点发展一些有实力的公司 为团体会员的重要性以及与团体会员增加联系的重要 性。为切实加强联系,委员会拟在国际互联网上建立 功率超声分会的主页,希望能得到企业、公司、大专 院校、科研院所各生产、使用、科研单位和机构的支持。

本次会议由中国声学学会功率超声分会主办,由 陕西师范大学应用声学所筹办,无锡市几位会员辛苦 亲自安排。会议得到了老一代科学家的支持。并得到 无锡市领导、科委和科协的大力支持,还得到了无锡 市等一些大、中企业的支持和赞助。功率超声分会在 此再次表示感谢,并希望有更多的热心人来支持功率 超声事业的发展。

(中国声学学会功率超声分会 沈建中)

应用声学

· 45 ·